

ОБЪЕДИНЕННЫЙ ИНСТИТУТ ЯДЕРНЫХ ИССЛЕДОВАНИЙ
Лаборатория ядерных проблем

Б.В.Болонкин, В.Б.Виноградов

Б1-1-3719

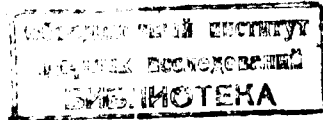
МОДЕЛИРОВАНИЕ СПЕКТРОВ ЭФФЕКТИВНЫХ МАСС
 $\gamma\chi$ -КОМБИНАЦИЙ С УЧЕТОМ ЭФФЕКТИВНОСТИ РЕГИСТРАЦИИ
В ПУЗЫРЬКОВОЙ КАМЕРЕ

С.Ф. 2123

Рукопись поступила
в Издательский отдел

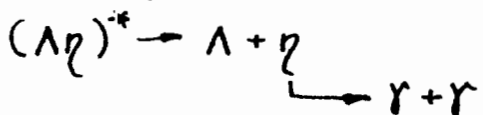
20.11.1968 г.

г. Дубна, 1968 г.



В В Е Д Е Н И Е

При исследовании спектров эффективных масс $\Lambda\gamma$ -комбинаций в работах /1,2/ был обнаружен пик в области (1300+1400) Мэв, который авторами работ /1,2,3/ объясняется отражением распада предполагаемого $(\Lambda\eta)^*$ резонанса с ~~макой~~ ~ 1680 Мэв по схеме:



Ими было показано, что наблюдаемый пик не является кинематическим эффектом ни одного из ранее известных резонансов.

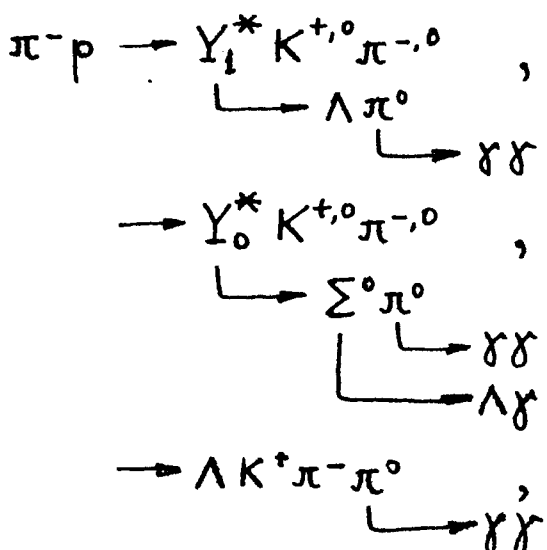
Аналогичные эксперименты проводятся на метровой пропановой камере /4/.

Целью данной работы являлось моделирование спектров эффективных масс $\Lambda\gamma$ -комбинаций с учетом эффективности регистрации для выяснения возможности появления "ложного" пика в области (1300+1400) Мэв, обусловленного конечными размерами и формой камеры /4/.

МОДЕЛИРОВАНИЕ ИМПУЛЬСНЫХ И УГЛОВЫХ РАСПРЕДЕЛЕНИЙ

Λ - ГИПЕРОНОВ и χ - КВАНТОВ

Исследовались реакции вида:



в конечном состоянии которых имеются Λ -гипероны и χ -кванты.

Импульсные и угловые распределения в данных реакциях моделировались с помощью программы "ФОРС"^{/5/} (фон резонансных состояний).

При моделировании учитывалась наблюдаемая в различных экспериментах /6,8/ угловая асимметрия барионов. Для этого угол Θ_1 в системе центра масс $\pi^- p$ между направлением Y^* , Λ и импульсом первичного π^- -мезона согласно /5/ разыгрывался по формуле:

$$\cos \theta_1 = -\sqrt[5]{a_1},$$

по современным условиям распределению

$$\frac{dN}{d(\cos \theta_1)} \sim -\cos^5 \theta_1$$

Для резонансов со спином $\frac{3}{2}$ (например, γ^*_{1385}), кроме того, учитывалась и угловая асимметрия продуктов их распада:

$$\frac{dN}{d(\cos \theta_2)} \sim \cos^2 \theta_2 ,$$

для чего угол распада θ_2 в системе покоя резонанса относительно направления его движения разыгрывался по формуле:

$$\cos \theta_2 = \sqrt{a_2} \cdot \text{sign}(1 - 2a_3) .$$

$a_{1,2,3}$ - случайные числа, равномерно распределенные в интервале $(0 + 1)$.

МЕТОДИКА УЧЕТА ЭФФЕКТИВНОСТИ РЕГИСТРАЦИИ $\Lambda\gamma$ -ПАР

Учет эффективности регистрации производился двумя способами:

I. Для построения различных распределений отбирались лишь те $\Lambda\gamma$ - комбинации, которые оказывались "зарегистрированными", т.е. распад Λ -гиперона и конверсия γ - кванта происходили внутри эффективного объема камеры.

Для этого к программе "ФОРС" был подсоединен специальный блок, в котором разыгрывались точки рождения и случайные пролетные длины Λ -гиперонов и γ -квантов. Пара $\Lambda\gamma$ считалась, "зарегистрированной" при одновременном выполнении условий:

$$L_{min} < L_{\Lambda,\gamma} < L_{pot\Lambda,\gamma} , \quad r_\gamma > r_{\gamma min} ,$$

где L_{min} - минимальная пролетная длина для Λ -гиперона и χ -кванта,

$L_{pot_{\Lambda,\chi}}$ - соответствующие потенциальные длины,

$p_{\chi min}$ - некоторое граничное значение для импульса χ -кванта.

2. Для построения гистограммы использовались все сгенерированные $\Lambda\chi$ -пары, но каждая с "весом" $W_{\Lambda\chi}$. $W_{\Lambda\chi}$ - вероятность регистрации $\Lambda\chi$ пары - вычисляется в блоке учета эффективности регистрации.

Оба способа давали результаты, совпадающие в пределах их ошибок.

Координаты точек рождения Λ -гиперонов и χ -квантов (точек взаимодействия Λ^+ -мезонов пучка с рабочим веществом камеры) разыгрываются в соответствии с распределением плотности частиц в первичном пучке. По осям X и Y в плоскости, перпендикулярной пучку, эти распределения имеют (приблизительно) гауссовых кривых. Они моделируются суммированием m случайных величин, распределенных равномерно внутри интервалов ($b_n + b_s$), границы которых определяются из соотношения /12/

$$b_{n,s} = \frac{\bar{X}}{m} \pm \sqrt{\frac{3}{m}} \cdot \sigma_x \quad \text{для } X \text{ и аналогично для } Y, \text{ где}$$

$\bar{X}, \sigma_x, \bar{Y}, \sigma_y$ - средние значения и средне-квадратичные отклонения в распределениях по X и Y . Выбывание частиц из пучка при взаимодействии их с рабочим веществом учитывается при моделировании Z координат точек рождения Λ -гиперонов и χ - квантов по формуле:

$$Z = -\frac{1}{6n} \ln \beta_z ,$$

где σ - сечение взаимодействия первичных частиц с рабочим веществом, отнесенное к 1 молекуле,

$n = \frac{N_A \rho}{M}$ - число молекул рабочего вещества в 1 см³,

ρ, M - плотность и граммолекула рабочего вещества,

N_A - число Авогадро,

b_z - случайные величины, равномерно распределенные в интервале ($b_n + b_v$), границы которого определяются из соотношений:

$$Z_{1,2} = -\frac{1}{6n} \ln \beta_{v,n} *) .$$

Случайные пролетные длины λ -гиперонов и квантов разыгрываются по формулам /9, 10/: $Z_{\lambda,\gamma} = -L_{\lambda,\gamma} \ln \alpha_{\lambda,\gamma} ,$

где $\alpha_{\lambda,\gamma}$ - случайные величины, равномерно распределенные в интервале (0 + 1),

*) Мы пренебрегали искривлением траекторий первичных частиц в магнитном поле.

$$L_{\gamma} = \frac{X_0}{\mu(p_{\gamma})} \text{ - конверсионная длина,}$$

X_0 - радиационная длина,

$\mu(p_{\gamma})$ - вероятность конверсии γ -кванта с импульсом p_{γ} на радиационной длине,

$L_{\Lambda} = d_{\Lambda} p_{\Lambda}$ - средняя пролетная длина Λ -гиперона,

$d_{\Lambda} = \frac{\tau_{0\Lambda} c}{M_{\Lambda}}$; $p_{\Lambda}, \tau_{0\Lambda}, M_{\Lambda}$ - импульс, среднее время жизни и масса Λ -гиперона,

c - скорость света.

Вероятность регистрации пары $\Lambda\gamma$ вычисляется по формуле

(III):

$$W_{\Lambda\gamma} = W_{\Lambda} \cdot W_{\gamma} ,$$

$$\text{где } W_{\Lambda\gamma} = e^{-\frac{L_{\min}}{L_{\Lambda\gamma}}} - e^{-\frac{L_{\text{pot}_{\Lambda\gamma}}}{L_{\Lambda\gamma}}} , \quad W_{\gamma} = 0$$

для $p_{\gamma} < p_{\gamma \min}$ - вероятности регистрации Λ -гиперона и γ -кванта.

Для прямоугольных камер /4, 13/

$$L_{\text{pot}} = \min \{ P, Q, R \} ,$$

где

$$P = \begin{cases} \frac{X_2 - X}{\ell}, \ell > 0, \\ \frac{X_1 - X}{\ell}, \ell < 0, \end{cases} \quad Q = \begin{cases} \frac{Y_2 - Y}{m}, m > 0, \\ \frac{Y_1 - Y}{m}, m < 0, \end{cases} \quad R = \begin{cases} \frac{Z_2 - Z}{n}, n > 0, \\ \frac{Z_1 - Z}{n}, n < 0, \end{cases}$$

X, Y, Z - координаты точки рождения частицы,
 ℓ, m, n - её направляющие косинусы,
 $X_1, Y_1, Z_1; X_2, Y_2, Z_2$ - нижние и верхние границы
эффективного объема камеры.

Для цилиндрической камеры /14/

$$Z_{\text{plot}} = \min \{ P, Q \},$$

где

$$P = \begin{cases} \frac{X_2 - X}{\ell}, & \ell > 0, \\ \frac{X_1 - X}{\ell}, & \ell < 0, \end{cases} \quad Q = \frac{Z_2 - Z}{n}, \quad Z_B = \frac{m(Zm - Yn) \pm \sqrt{(Rn)^2(n^2 + m^2) - [n(Zm - Yn)]^2}}{m^2 + n^2},$$

+ при $n > 0$,

- при $n < 0$,

$Z = 0$ на оси цилиндра,

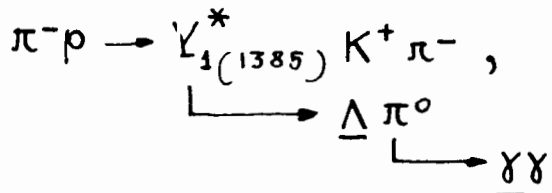
R - радиус цилиндрической части эффективного объема.

Программа учета эффективности регистрации $\Lambda\gamma$ -пар приведена в приложении I, использованные в ней константы - в приложении 2.

ПРОВЕРКА МЕТОДИКИ УЧЕТА ЭФФЕКТИВНОСТИ РЕГИСТРАЦИИ

$\Lambda\gamma$ -ПАР

На рис. I приведены импульсные p_γ , p_Λ и угловые $\cos\theta_{\gamma\text{lab}}$, $\cos\theta_{\Lambda\text{lab}}$ распределения Λ -гиперонов и γ -квантов, моделируемые программой "ФОРС" для реакции



а также распределения координат X , Y , Z точек первичных взаимодействий и случайных пролетных длин $\mathcal{L}_{\Lambda,\gamma}$ Λ -гиперонов и γ - квантов, моделируемые в блоке учета эффективности регистрации для камеры ^{14/}.

На рис.2 - распределения вычисляемых в этом блоке потенциальных длин $\mathcal{L}_{pot\gamma}$, $\mathcal{L}_{pot\Lambda}$, вероятностей регистрации Λ -гиперонов - W_Λ , γ - квантов - W_γ , $\Lambda\gamma$ -пар - $W_{\Lambda\gamma}$ и соответствующих весов $V = \frac{1}{W}$.

Для сравнения пунктиром нанесены гистограммы, полученные без учета эффективности регистрации (если они заметно не совпадают).

Статистика соответствует ~ 1000 "зарегистрированных" событий с Λ - гипероном и по крайней мере одним γ -квантом (фиксированным, не любым из двух!).

Из рисунков I,2 видно:

1. Импульсный спектр γ - квантов согласуется со спектром от распада $\Lambda^0 \rightarrow \gamma\gamma$.

2. Распределения по X , Y , Z отвечают параметрам, указанным в приложении 2.

3. Зарегистрированные события имеют по сравнению со всеми сгенерированными в среднем большие импульсы γ -квантов и несколько меньшие - Λ -гиперонов, меньшие углы θ_γ лаб, более кругой спад в распределении Z координат точек первичных взаимодействий, меньшие пролетные длины, большие потенциальные длины и вероятности регистрации.

Это свидетельствует о правильности применяемой методики учета эффективности регистрации $\Lambda\gamma$ -пар.

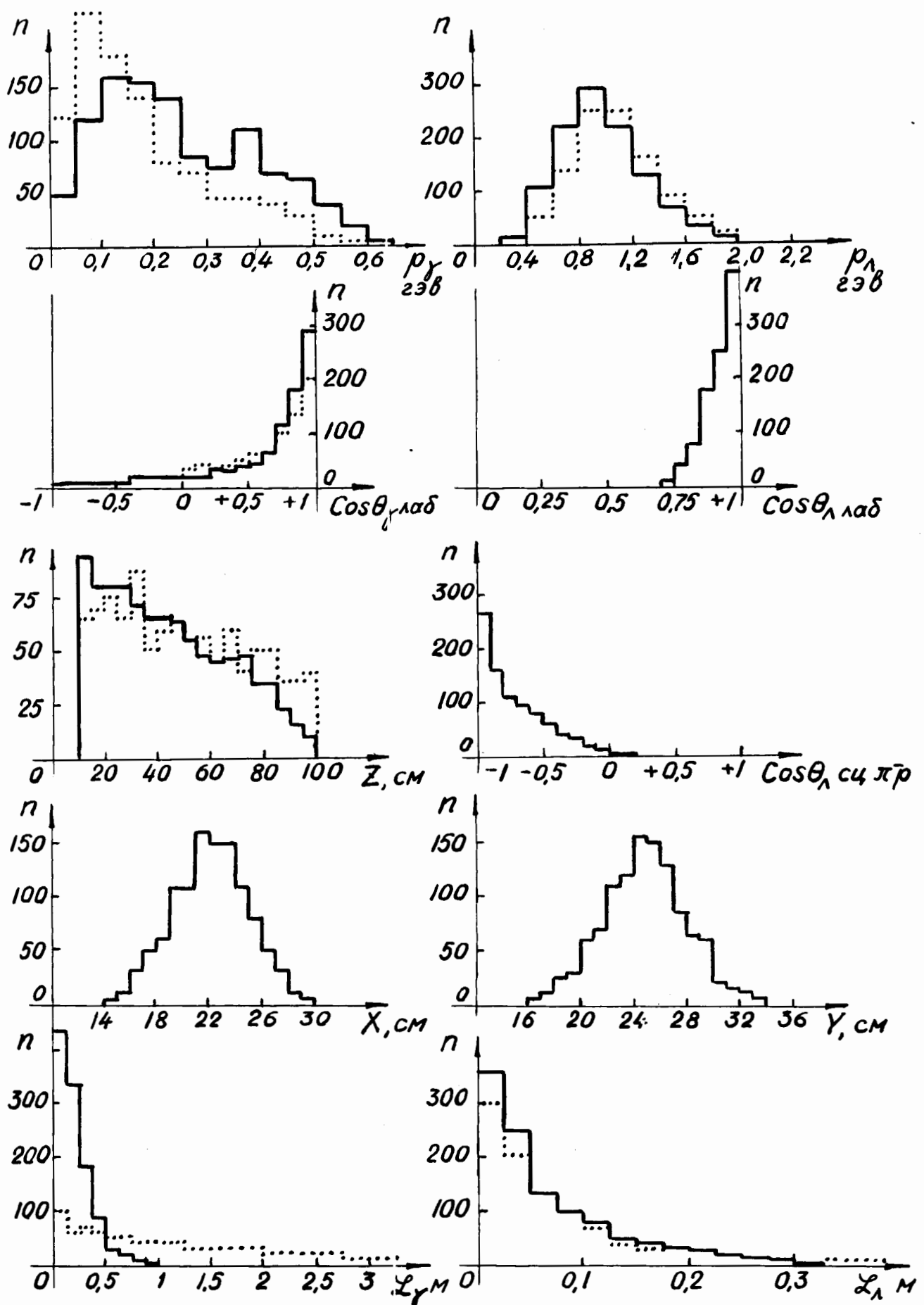


Рис. 1

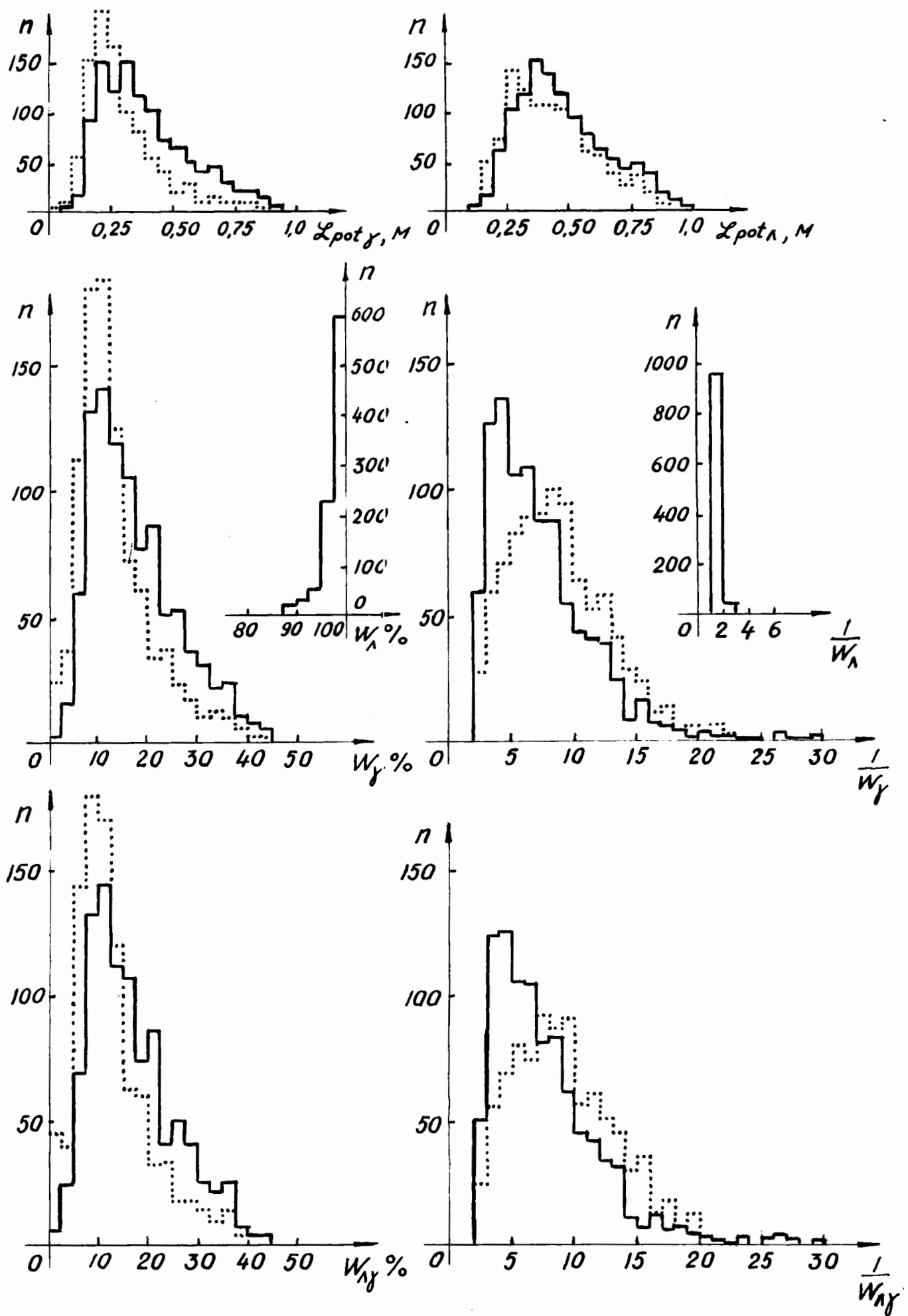


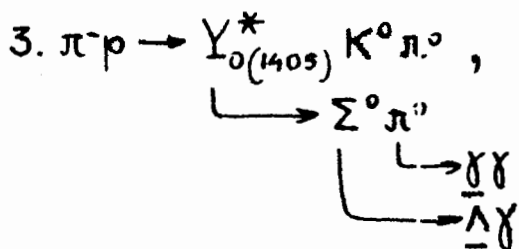
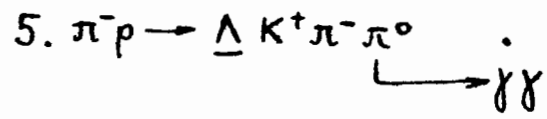
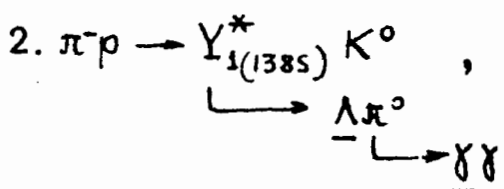
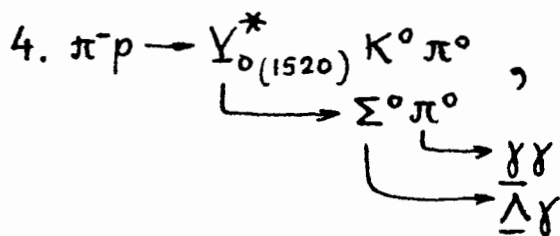
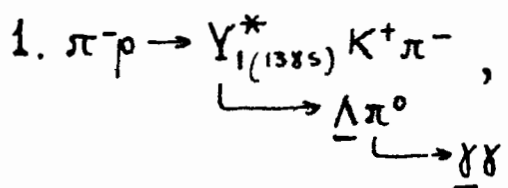
Рис. 2

Для проверки законности применения метода потенциальных длин при вычислении вероятностей регистрации было сгенерировано 8000 событий. Из них оказались "зарегистрированными" 963. Для каждого "зарегистрированного" события был вычислен вес $V_{\Lambda\gamma} = \frac{1}{W_{\Lambda\gamma}}$ (распределение весов см.на рис.2). Сумма весов в интервале (0+40) дает значение 7994. Отсюда можно сделать вывод, что метод потенциальных длин восстанавливает начальное число событий.

Средняя эффективность регистрации $\Lambda\gamma$ -пар в рассматриваемом процессе оказалась равной $\sim 12\%$.

РЕЗУЛЬТАТЫ МОДЕЛИРОВАНИЯ СПЕКТРОВ ЭФФЕКТИВНЫХ МАСС ДЛЯ 5 РЕАКЦИЙ

Были промоделированы спектры эффективных масс $\Lambda\gamma$ -комбинаций в условиях камеры ^{/4/} для следующих реакций:



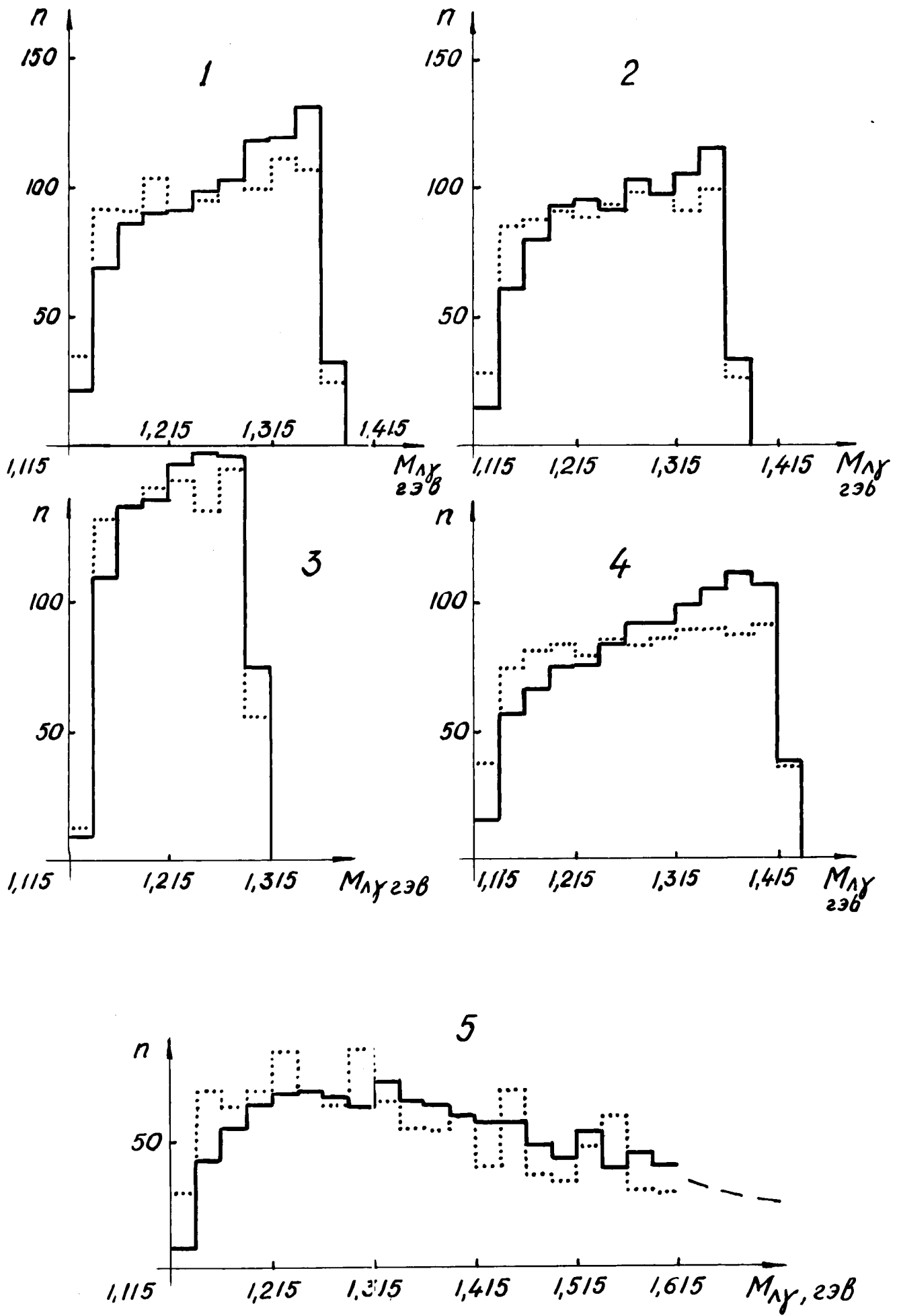


FIG. 3

Статистика соответствует примерно 1000 "зарегистрированных" событий в каждом случае.

Полученные гистограммы $M_{\Lambda\gamma}$ приведены на рис.3. Пунктиром нанесены гистограммы без учета эффективности регистрации $\Lambda\gamma$ пар.

Во всех случаях, кроме 5, наблюдается более крутой подъем в сторону верхней границы $M_{\Lambda\gamma}$.

Связанное с этим превышение числа событий в интервале $M_{\Lambda\gamma} = (1300 \pm 1400)$ Мэв по сравнению с гистограммами без учета эффективности регистрации, которое составляет в случаях I, 2, 3, 4 соответственно 14%, 11%, 12%, 16%.

Было проверено, что эффект не является следствием только лишь учета угловых асимметрий в рождении и распаде резонансов. Для этого были промоделированы спектры $M_{\Lambda\gamma}$ в реакции I без учета эффективности регистрации и без угловой асимметрии в рождении и распаде (рис.4 а), с асимметрией в рождении (рис.4б), с асимметрией в рождении и распаде (рис.4в). Аналогичные спектры с учетом эффективности регистрации в камере^{14/} приведены на рис.5а, б, в.

Для проверки зависимости отмеченного эффекта от эффективности регистрации реакция I была промоделирована в условиях камер /13/ и /14/ соответственно с меньшей и большей, чем в камере /4/, эффективностью регистрации.

Соответствующие гистограммы эффективных масс $\Lambda\gamma$ приведены на рис.6 для /13/ и 7 для /14/.

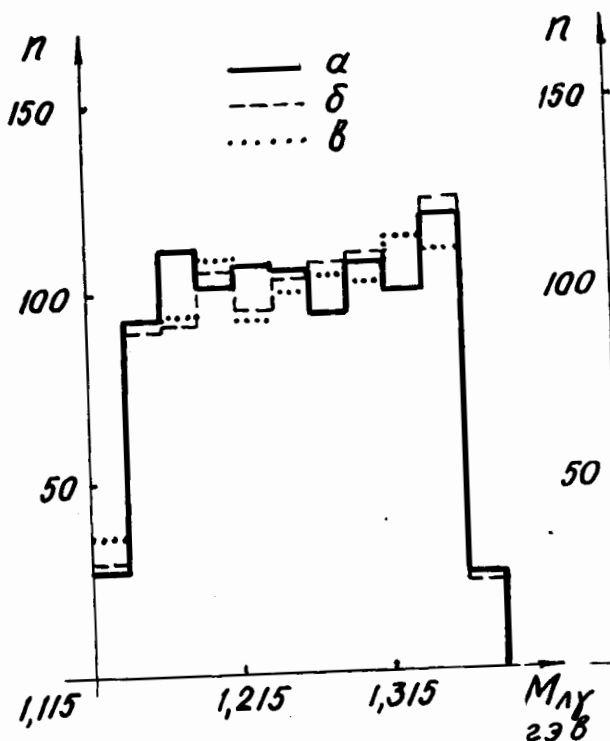


Рис. 4

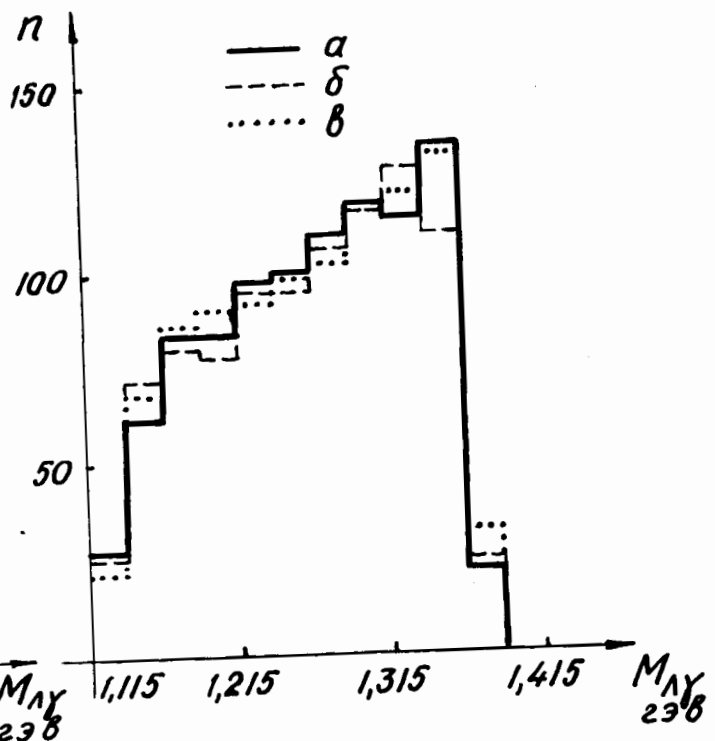


Рис. 5

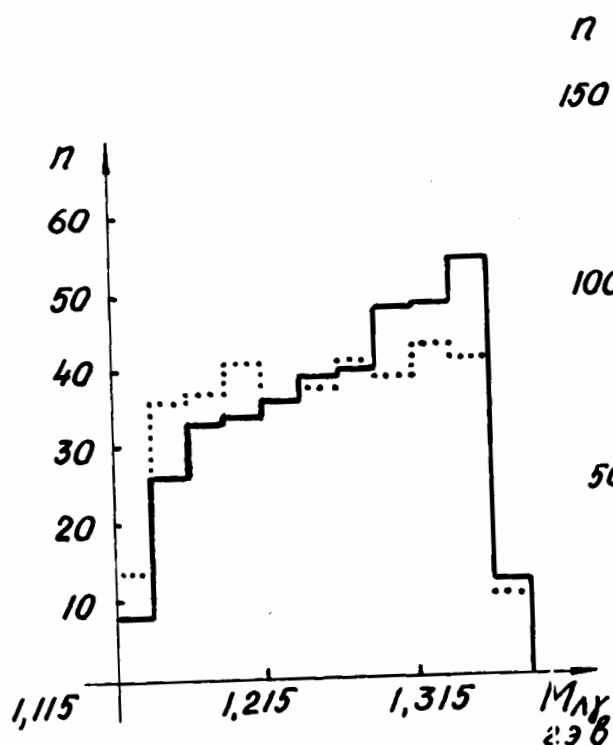


Рис. 6

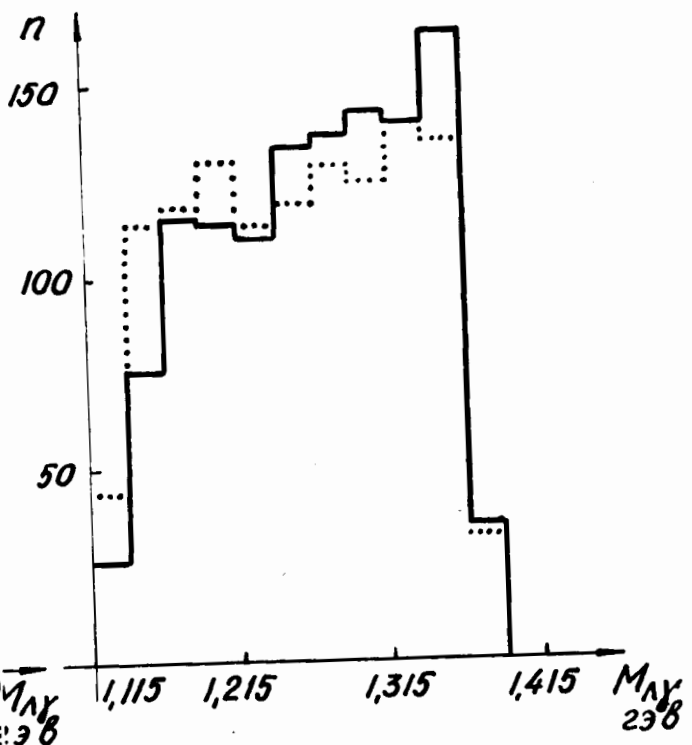


Рис. 7

Зависимость отмеченного эффекта в области

$M_{\Lambda\gamma} = (1300+1400)$ Мэв от эффективности регистрации для реакции I представлена табл. I.

Камера	/13/	/4/	/14/
Эффективность регистрации	5%	12%	40%
Эффект	19%	14%	10%

Таблица I.

Эффект убывает с увеличением эффективности регистрации $\Lambda\gamma$ -пар, что и следовало ожидать.

Отсутствие эффекта в реакциях типа 5 и малость его в случаях I-4 по сравнению с наблюдающимся в экспериментах пиком в области $M_{\Lambda\gamma} = (1300+1400)$ Мэв, превышающим фон в $(1,5+2)$ раза /1,2/, позволяет сделать вывод о невозможности появления "ложного" пика в указанной области $M_{\Lambda\gamma}$, обусловленного конечными размерами и формой камеры /4/.

Авторы благодарны В.Б.Флягину за иницирование и постоянный интерес к данной работе, В.Е.Комоловой за многочисленные консультации по работе с программой "ФОРС", А.Г.Володько и Ю.Ф.Ломакину за полезные советы на различных этапах работы.

Ф.Денисов
Г.Заславский

Литература

1. Ван Юн Чан и др. Поиски радиационных распадов резонансов с участием Λ -гиперонов. Препринт ОИЯИ, Р-1615, Дубна, 1964.
2. B.P. Bannik et al. Observation of the $\Lambda\eta^0$ resonance in π^-p interactions at 4.0 gev/c. Препринт ОИЯИ, Е-2858, Дубна, 1966.
3. Г.И.Копылов. Пары $\Lambda\bar{\Lambda}$ и резонанс $\Lambda\eta$. Препринт ОИЯИ, РI-3048, Дубна, 1966.
4. А.В.Богомолов и др. Метровая пузырьковая камера в магнитном поле. ПТЭ, I, 61, 1954.
5. В.Е.Комолова, Г.И.Копылов. Моделирование рождения и распада резонансов. Препринт ОИЯИ, Р-2027, Дубна, 1965.
6. D.J. Crennel et al. Observation of a Backward peak in the reaction $\pi^- + p \rightarrow Y^0 + K^0$ at 6 gev/c. PRL, 18, 86, 1967.
7. J. Bertke et al. Hyperon and Kaon Production by 16 gev/c negative pions on protons. Nuovo Cimento, 24, 876, 1962.
8. L. Bertanze et al. Strange particle Production by 4,65 gev/c π^- mesons. PR. 130, 786, 1963.
9. В.Ф.Вишневский и др. Метод вычисления геометрической эффективности регистрации событий в пузырьковой камере. Препринт ОИЯИ, Р-1489, Дубна, 1964 г.
10. Д.К.Копылова, М.Сыркез. К среднему числу π^0 -мезонов в неупругих π^-p - взаимодействиях. Препринт ОИЯИ, 2604, Дубна, 1966.

II. В.Б.Виноградов и др. Программа идентификации V° -частиц

и γ -квантов.

Препринт ОИЯИ, 2613, Дубна, 1966.

I2. Н.П.Бусленко и др. Метод статистических испытаний
(метод Монте-Карло). Москва, 1962 г. Р13.матчз

I3. Ван-Ган-чан, М.И.Словьев, Ю.Н.Шкобин. ПТЭ, I, 41, 1959.

I4. М.Ф.Ломанов и др. 200-литровая пузырьковая
камера.

ПТЭ, 2, 37, 1963.

I	2	3	4	5	6	7
3				0		
4				0		
5				0		
6	52					
7	04	4763	4762	4752		$\ell_\gamma = p_{x\gamma} / p_\gamma$
50	04	4764	4762	4753		$m_\gamma = p_{y\gamma} / p_\gamma$
I	04	4765	4762	4754		$n_\gamma = p_{z\gamma} / p_\gamma$
4352	2	0I		4752		$\ell, m, n, > 0?$ нет, га
3	36	0000	4656			
4	7	02	4732	4745	4755	$x_2 - x, y_2 - y, z_2 - z$
5	56			4657		00ход
6	7	02	4727	4745	4755	$x_i - x, Y_i - Y, Z_i - Z$
7	7	04	4755	4752	4755	$P = \frac{x_{1,2} - x}{e}, Q, R$
60	I	I2	0002	4652	000I	цикл для P, Q, R
I	52					PA
2	4		4755		4760	
3	4	02	4756	4760		
4	I	II	0002	4662	000I	
5	I	I2	0003	4663		
6	52					
7				476I		
70	05	476I	4762	476I		$\mu(p_\gamma) = \langle 476I \rangle$
I	2	0I	476I	4736	476I	
2	I	I2	0003	4670	000I	
3	52					
4	04	4735	476I	476I		$L_\gamma = \frac{X_0}{\mu(p_\gamma)} = \langle 476I \rangle$
5	I6	4676	750I	76I0		
6	5	75	4750	0004	4750	$\ln a_{\gamma, \Lambda} = \langle 4750, 4751 \rangle$
7	2	05	476I	4750	476I	
4700		02		476I	476I	$- L_{\gamma, \Lambda} = L_{\gamma, \Lambda} \ln a_{\gamma, \Lambda}$
I	02	476I		4742		$L_{\gamma, \Lambda} = \langle 476I \rangle$
	3I			47I6		
3	02	4760	476I			$L_{\gamma, \Lambda} > L_{\min}?$ нет, га (PA)
						$L_{\text{pot}, \gamma, \Lambda} > L_{\gamma, \Lambda}$ нет, га

1	2	3	4	5	6	7
	4	3I		47I6		
	5	I6	47I5	4706	4705	Изменение последоват для Λ
	6	04	4757	4766	4752	$\ell_\Lambda = p_{x\Lambda} / p_\Lambda$
	7	04	47 70	4766	4753	$m_\Lambda = p_{y\Lambda} / p_\Lambda$
I0	04	477I	4766	4754		$n_\Lambda = p_{z\Lambda} / p_\Lambda$
I	I6	47I2	4652	4666		уход на $\mathcal{L}_{rot\Lambda}$
2	52			4666		восстановление (4666), PA
3	05	4743	4766	476I		$L_\Lambda = \alpha_\Lambda p_\Lambda = (476I)$
47I4		32		4675	000I	уход на \mathcal{L}_Λ , изменение PA
	4		775I		2544	$I \rightarrow$ вместо \bar{K} в ФОРС
47I6		56	47I7	I470	4705	возвр. в ФОРС, восст. (4705)
	7	I6	47I5	4706	4705	зап. код для восст. (4705)
20	-	0I	3			$p_f min$, Гэв, I0-числ
I			7I4			b_n для X, Y, Z, см
2			4I2			
3			503			
4	0I	346				$b_B - b_n$ q_{1*} X, Y, Z, см
5	0I	450	7			
6		43I				
7	0I	5				X_1 Y_1 , нижние грани цв (см)
30	0I	5				
I	02	I				
2	02	35				Z_1 , эфект. объема
3	02	45				
4	03	I				
5	03	I09				X_2 верхние граници
6		22I				
7		8I				
40		896				Z_2 , эфект. объема, см X_0 радиац. длина, см α_1 , $\mu(p_f) =$ α_2 , $= \alpha_1 p^3 + \alpha_2 p^2 + \alpha_3 p + \alpha_4$ $[p] = \gamma \beta / c$

I	2	3	4	5	6	7
I			43I			α_4
2			I			$\lambda_{min}, \text{см}$
3		0I	704	225		$\alpha_1 = \frac{\tau_{\text{оп}} \cdot c}{M \cdot n}, \text{гэб, см, сек}$
4744	-	02	686	5		$\frac{M}{\text{см}^{-1}}$
			5052			КА
5052		I6	5053	5764	5770	обр.за сл.числом а
3		05	5772	4726	4747	$a(B_B - B_H)$
4		0I	4747	4723	4747	$B_z = B_H + a(B_B - B_H)$
5		I6	5056	750I	7610	$\ln B_z$
6		75	4747	0004	4747	$\frac{1}{\delta n} \ln B_z$
7		04	4747	4744	4747	$Z = -\frac{1}{\delta n} \ln B_z = <4747>$
60		02		4747	4747	
506I					4745	подготовка
2					4746	сумматоров для
3	4	52				$X; Y$
4		I6	5065	5764	5770	перес.РА
5			5772		5075	сл.число а
6	2	05	5075	4724	5075	$B = B_H + a(B_B - B_H)$
7	2	0I	5075	472I	5075	$X = \sum B_x, Y = \sum B_y$
70	3	0I	5075	4745	4745	цикл для X и Y
I	I	I2	000I	5064	000I	запом.РА
2		00				
3	I	I2	00I0	5063	000I	цикл $\sum_{i=1}^m, m = 9_{10}$
			4633			КА, пересылка из
						ФОРСа
		I6	4634	4772	5003	
			4.772			
4772						КА
3				0060	4762	p
4					4763	p_x
5					4764	p_y
6					4765	p_z
7					4766	p
5000					4767	p_x
I					4770	p_y
2			52		477I	p_z

Для 2 способа к предыдущей программе необходимо
добавить следующие изменения:

	4675			уход из ЭВ на
I6	4705	5350	5372	вычисление W с возвр.
	5360			КА
04	4742	4751	5374	Σ_{min}/L
02		5374	5374	$-\Sigma_{min}/L$
I6	5363	7501	7610	$-\Sigma_{min}/L$
75	5374	0003	5374	e } $-\Sigma_{min}/L$
04	4760	4751	5375	Σ_{pot}/L
02	5	5375	5375	$-\Sigma_{pot}/L$
I6	5367	7501	7610	$-\Sigma_{pot}/L$
75	5375	0003	5375	e }
I 02	5374	5375	5376	$W_{\gamma,\bar{\lambda}} \langle 5376, 5377 \rangle$
52				PA
	4715			КА
05	5376	5377	2544	$W_{\Lambda_f} = W_f \cdot W_A \rightarrow$ вместо K

Изменения для вычисления Z_{pot} в цилиндрической камере:

		4652			KA
	I6	4666	5402	5443	
		5402			KA
5402	0I		4752		$\ell > 0?$ нет, да
3	36		5406		
4	02	4732	4745	4755	$X_2 - X$
5	56		5407		
6	02	4727	4745	4755	$X_1 - X$
7	04	4755	4752	4755	$P = \frac{X_{1,2} - X}{\ell} = \langle 4755 \rangle$
5410	02	4747	4733	5444	$Z = Z - Z_u$
I	05	4753	4753	5445	m^2
2	05	4754	4754	5446	n^2
3	0I	5445	5446	5447	$m^2 + n^2$
4	05	4753	5444	5445	Zm
5	05	4754	4746	5446	Yn
6	02	5445	5446	5450	$Zm - Yn$
7	05	4753	5450	5445	$(Zm - Yn)m$
5420	05	4754	5450	5446	$(Zm - Yn)n$
I	05	5446	5446	5446	$[(Zm - Yn)n]^2$
2	05	4734	4754	5450	Rn
3	05	5450	5450	5450	$(Rn)^2$
4	05	5450	5447	5450	$(Rn)^2(m^2 + n^2)$
5	02	5450	5446	5446	$\sqrt{\dots}$
6	44	5446		5446	
7	0I		4754		$n > 0?$ нет, да

1	2	3	4	5	6	7
5430		36		5433		
I	0I	5445	5446	5450		
2	56		5434			
3	02	5445	5446	5450		
4	04	5450	5447	5450		
5	02	5450	5444	5450		$Z_8 - Z$
6	04	5450	4754	4756		$Q = \frac{Z_8 - Z}{n} = \langle 4756 \rangle$
7	4	4	4755		4760	
5440	4	02	4756	4760		
I	I	II	000I	5437	000I	
2	I	I2	0002	5440		

↓ + ↓ - ↓
 Z_B $Z_8 - Z$
 $Q = \frac{Z_8 - Z}{n} = \langle 4756 \rangle$
 $Z_{pot} = \min \{ P, Q \} =$
 $= \langle 4760 \rangle$.

ПРИЛОЖЕНИЕ 2.

Константы, использованные в программе учета эффективности регистрации $\Lambda\gamma$ - пар

$$M_\Lambda = 1,1154 \text{ Гэв}, \tau_{o\Lambda} = 2,51 \cdot 10^{-10} \text{ сек},$$

$$\mu(p_\gamma) = 0,221 p_\gamma^3 - 0,810 p_\gamma^2 + 0,896 p_\gamma + 0,431 /11/, [p_\gamma] = \frac{\text{Гэв}}{c}$$

Камера	/4/	/13/	/14/
$p_\gamma \text{ min, Гэв/с}$	0,03	0,03	0,03
$L \text{ min cm}$	0,1	0,1	0,15
$X_0 \text{ cm}$	109	109	24
$X_1 \text{ cm}$	5	2	-10
$X_2 \text{ cm}$	35	12	20
$Y_1 \text{ cm}$	5	3	
$Y_2 \text{ cm}$	45	25	
$Z_1 \text{ cm}$	10	5	
$Z_2 \text{ cm}$	100	50	
$\bar{X} \text{ cm}$	22	6	0
$\bar{y}_x \text{ cm}$	3	1	2
$\bar{Y} \text{ cm}$	24	16	0
$\bar{y}_y \text{ cm}$	4	2	2
$\rho \text{ мбарк}$	1180	1180	380
$\rho \text{ г/см}^3$	0,455	0,455	I,II
$M \text{ г}$	44	44	22
$p_{\pi^-} \text{ Гэв/с}$	5,1	4	2,8

$R = \frac{35 \text{ см}}{Z_2}$